

УДК 537.635 541.5

## СОПОСТАВЛЕНИЕ ЭЛЕКТРОПОЛЕВОГО ЭФФЕКТА В ЭПР $\text{Fe}^{3+}$ И $\text{Gd}^{3+}$ В $\text{KTaO}_3$

*И. Н. Гейфман, И. В. Козлова, А. П. Леванюк, Т. В. Сонько*

Показано, что температурные зависимости электрополевого эффекта в ЭПР ионов  $\text{Fe}^{3+}$  и  $\text{Gd}^{3+}$ , находящихся в одной и той же кристаллографической позиции, существенно различаются.

В случае ионов  $\text{Fe}^{3+}$  эти температурные зависимости полностью объясняются изменением диэлектрической постоянной матрицы. Для иона  $\text{Gd}^{3+}$  наблюдается более сильная температурная зависимость электрополевого эффекта, чем для иона  $\text{Fe}^{3+}$ . Это интерпретируется как свидетельство нецентральности иона  $\text{Gd}^{3+}$  в  $\text{KTaO}_3$  или как наличие при низкой температуре реального или виртуального локального фазового перехода, при котором этот ион переходит в нецентросимметричную позицию.

В [1] показано, что температурную зависимость сдвига линии ЭПР  $\text{Gd}^{3+}$  в  $\text{KTaO}_3$  под действием электрического поля нельзя объяснить температурной зависимостью поляризации. В [1] высказано предположение, что это связано со скачкообразным изменением структуры окружения этого иона (расположенного при  $E=0$  в узле с центром инверсии) в результате фазового перехода в матрице, индуцированного электрическим полем. Вместе с тем изучение зависимости  $P(E)$  не обнаружило сегнетоэлектрического фазового перехода в тех электрических полях, при которых в [1] наблюдались особенности электрополевого сдвига линии ЭПР.

В настоящей работе показано, что упомянутые особенности в электрополевом эффекте в ЭПР  $\text{Gd}^{3+}$  в  $\text{KTaO}_3$  специфичны именно для этого иона и не наблюдаются для иона  $\text{Fe}^{3+}$ , локализованного в двух различных центросимметричных позициях, одна из которых совпадает с местоположением иона  $\text{Gd}^{3+}$ .

Особенности поведения иона  $\text{Gd}^{3+}$  объясняются из предположения, что с изменением температуры изменяется коэффициент жесткости для сдвига парамагнитного иона под действием локального электрического поля. Возможные причины этого обсуждаются ниже.

1. Приведем сначала данные о спектрах ЭПР иона  $\text{Fe}^{3+}$  и  $\text{Gd}^{3+}$  в  $\text{KTaO}_3$ , соответствующих кубической симметрии центров в отсутствие электрического поля и определим знаки констант спинового гамильтониана.

В  $\text{KTaO}_3$  ранее обнаружено пять типов парамагнитных центров  $\text{Fe}^{3+}$ . Два центра аксиальной симметрии — центры I и II [2-4], один центр ромбической симметрии — центр III [2] и два центра с кубическим окружением парамагнитного иона. Спектры последних центров описываются спин-гамильтонианом

$$\mathcal{H}_0 = g\beta H \hat{S} + \frac{a}{120} (\hat{\sigma}_4 + 5\hat{\sigma}_4). \quad (1)$$

При  $T=4.2$  К зарегистрирован спектр ЭПР иона  $\text{Fe}^{3+}$ , замещающего ион  $\text{Ta}^{5+}$  (местоположение иона  $\text{Fe}^{3+}$  установлено из анализа суперсверхтонкой структуры спектра), с константой кубического кристаллического поля  $a$  ( $IV$ )= $345 \cdot 10^{-4}$  см $^{-1}$  (центр  $IV$ ) и при  $T=300$  К — спектр, соответствующий кубической симметрии с константой  $a$  ( $V$ )= $30 \cdot 10^{-4}$  см $^{-1}$  (центр  $V$ ), отнесенный к иону  $\text{Fe}^{3+}$  в узле иона  $\text{K}^+$  [5].

Для увеличения интенсивности линий ЭПР, относящихся к кубическим центрам, проводился отжиг кристаллов по методике [6].

Нами определены знаки констант спин-гамильтониана, описывающего спектры центров IV и V. Для определения знака константы  $a$  (IV) измерены интенсивности линий ЭПР, соответствующих переходам  $-3/2 \leftrightarrow -1/2$  и  $3/2 \leftrightarrow 1/2$  при  $T=4.2$  К. Оказалось, что большую интенсивность имеет линия, находящаяся в больших магнитных полях. Из расчета диаграммы уровней энергии при отрицательной и положительной константах  $a$  (IV), видно, что в больших магнитных полях находится линия, соответствующая переходу  $-3/2 \leftrightarrow -1/2$ , а знак константы отрицателен [ $a(IV) = -345 \cdot 10^{-4}$  см $^{-1}$ ]. Знак константы  $a$  (V) принят нами отрицательным на том основании, что ион  $\text{Fe}^{3+}$  замещает ион  $\text{K}^+$  так же, как и в случае иона  $\text{Gd}^{3+}$ , имеющего константу  $a(\text{Gd}^{3+}) = -14 \cdot 10^{-4}$  см $^{-1}$  [7]. Непосредственное определение знака константы  $a$  (V) по интенсивностям линий ЭПР затруднено из-за перекрытия линий спектра данного центра с  $M \neq 1/2$  ( $M$  — большее из спиновых чисел перехода  $M \leftrightarrow M-1$ ) с линиями спектров с  $M=1/2$  центров I, II и IV.

Мы хотим обратить внимание на особенность поведения ширины линии

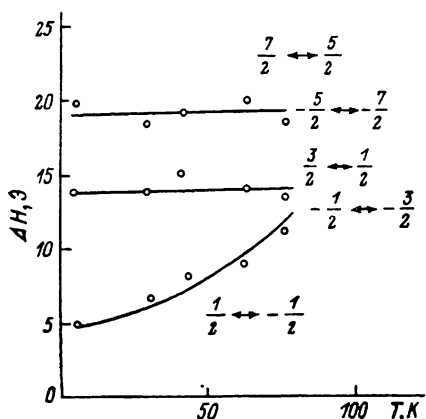


Рис. 1. Температурная зависимость ширины линий ЭПР  $\text{Gd}^{3+}$  в  $\text{KTaO}_3$ .

ЭПР  $\text{Gd}^{3+}$  в  $\text{KTaO}_3$  при изменении температуры. Так, при понижении температуры от 77 до 4.2 К значительно сужается линия, соответствующая переходу  $1/2 \leftrightarrow -1/2$  (рис. 1), в то время как у линий, соответствующих переходам с  $M \neq 1/2$ , столь сильного изменения ширины линии не наблюдалось. Вероятно, в уширении принимают участие два механизма, один из которых уширяет линии при нагреве, другой — при охлаждении. Первый приводит к одинаковому уширению всех линий ЭПР, а другой (существенный при  $T < 77$  К) обусловливает уширение линий с  $M \neq 1/2$ .

2. Исследован электрополевой эффект в ЭПР  $\text{Fe}^{3+}$  в  $\text{KTaO}_3$  [для иона  $\text{Fe}^{3+}$  (V) электрополевой эффект изучен впервые, а для иона  $\text{Fe}^{3+}$  (IV) он наблюдался ранее лишь при  $T=4.2$  К [8]] и получены дополнительные данные по электрополевому эффекту в ЭПР  $\text{Gd}^{3+}$  в  $\text{KTaO}_3$ . Измерения электрополевого эффекта проведены на радиоспектрометре ЭПР 3-см диапазона РЭ-1307 в интервале температур  $T=4.2 \div 96$  К. Наблюдались смещения линий ЭПР парамагнитных центров IV и V кубической симметрии с  $M \neq 1/2$ . Смещение линий ЭПР центра IV при  $T=4.2$  К такое же, как смещение, найденное в [8].

На парамагнитный центр действует локальное электрическое поле  $E_{\text{loc}} = E + \gamma P$ , причем в высокополяризуемых кристаллах  $E \ll \gamma P$ . Сдвиг линии ЭПР для центросимметричного положения парамагнитного иона является четной функцией поляризации. Для  $E=E_z$  соответствующий вклад в спин-гамильтониана имеет вид

$$\mathcal{X}_B = (\alpha P^2 + \beta P^4 + \dots) \frac{1}{3} [3S_z^2 - S(S+1)]. \quad (2)$$

Целесообразно поэтому характеризовать электрополевой эффект зависимостью сдвига линии ЭПР от квадрата поляризации.

Величина поляризации вычислялась по формуле

$$E = \chi P + \xi P^3 + \zeta P^6. \quad (3)$$

При  $T=77$  К  $\chi=136 \cdot 10^6$  В·м/Кл;  $\xi=0.6 \cdot 10^{10}$  В·м<sup>5</sup>/Кл<sup>3</sup>;  $\rho=0.16 \times 10^{12}$  В·м<sup>9</sup>/Кл<sup>5</sup> [9, 10].

Из сопоставления измеренных и рассчитанных значений (рис. 2) при  $T=77$  К получен единственный параметр  $\alpha$ , равный

$$\alpha \text{ (IV)} = -(2.9 \pm 0.3) \cdot 10^4 \text{ (м}^4 \cdot \text{Э)/Кл}^2,$$

$$\alpha \text{ (V)} = (1.1 \pm 0.2) \cdot 10^4 \text{ (м}^4 \cdot \text{Э)/Кл}^2,$$

$$\alpha \text{ (Gd)} = (0.88 \pm 0.07) \cdot 10^4 \text{ (м}^4 \cdot \text{Э)/Кл}^2.$$

Знаки констант  $\alpha$  определены по отношению к знакам констант основного спин-гамильтониана, описывающего кубические центры  $\text{Fe}^{3+}$  и  $\text{Gd}^{3+}$ .

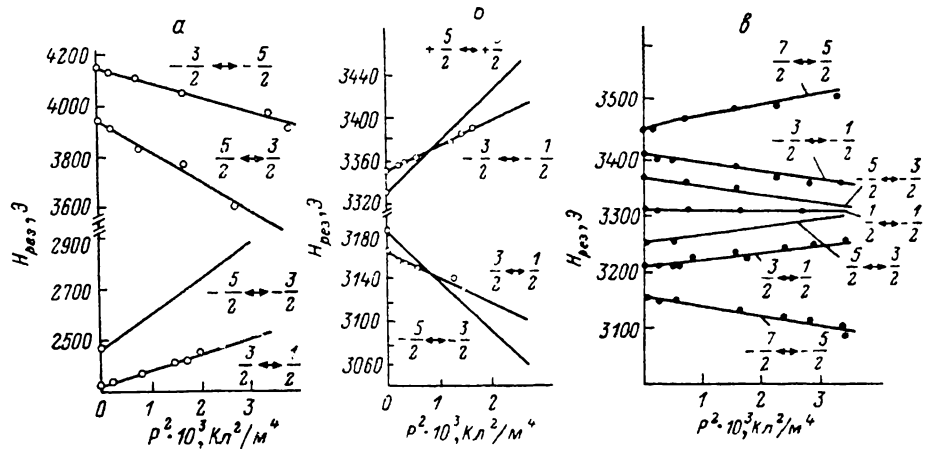


Рис. 2. Зависимость сдвига линий ЭПР  $\text{Fe}^{3+}$  (центры IV (а) и V (б)) и  $\text{Gd}^{3+}$  (в) в  $\text{KTaO}_3$  от квадрата поляризации при  $T=77$  К.

На рис. 2, а и б приведена зависимость сдвига линии ЭПР от  $P^2$  для  $\text{Fe}^{3+}$ . Эта зависимость имеет линейный характер и не изменяется при изучении электрополевого эффекта во всем исследованном интервале температур.

Для парамагнитного центра  $\text{Gd}^{3+}$  зависимость  $\delta H(P^2)$  (рис. 2, в) не изменяется при изменении температуры лишь при  $T > 60$  К. При  $T < 60$  К в зависимости  $\delta H(P^2)$  увеличивается наклон линий (правда, при самых низких температурах увеличение прекращается и зарегистрировано не очень четкая тенденция к уменьшению), а при  $T=4.8$  К линейная зависимость нарушается. Экспериментальные данные описываются формулой

$$\delta H = \left( M - \frac{1}{2} \right) [\alpha(\text{Gd}) P^2 + \beta P^4]. \quad (4)$$

Коэффициенты  $\alpha$  и  $\beta$  зависят от температуры и изменяются от  $\alpha=(0.5 \pm 0.02) \cdot 10^5$  Э·м<sup>4</sup>/Кл<sup>2</sup> и  $\beta=-(0.5 \pm 0.02) \cdot 10^7$  Э·м<sup>8</sup>/Кл<sup>4</sup> при  $T=4.8$  К до  $\alpha=(0.88 \pm 0.07) \cdot 10^4$  Э·м<sup>4</sup>/Кл<sup>2</sup> и  $\beta=(0 \pm 1) \cdot 10^4$  Э·м<sup>8</sup>/Кл<sup>4</sup> при  $T=77$  К.

На рис. 3 изображены зависимости  $\delta H(P^2)$  при двух разных температурах ( $T=4.8, 77$  К), а также приведен ряд точек, относящихся к другим температурам. Видно, что с понижением температуры существенно увеличивается начальный наклон и в самой зависимости появляется нелинейность.

Обсудим возможные причины такой эволюции  $\delta H(P^2)$  для иона  $\text{Gd}^{3+}$ . Электрополевой эффект может быть обязан как непосредственному влиянию на электронный спин сдвигов окружающих ионов (вследствие поляризации кристалла), так и смещению самого парамагнитного иона. Естественно, что для иона в центросимметричной позиции  $\delta H$  зависит лишь от квадрата смещения. Поскольку зависимость  $\delta H(P^2)$  для иона  $\text{Fe}^{3+}$  не изменяется с температурой, можно считать, что в случае  $\text{Gd}^{3+}$  имеет

место изменение с температурой коэффициента жесткости для сдвига парамагнитного иона под действием локального поля.

Выразим коэффициенты  $\alpha$  и  $\beta$  через эту жесткость. Зависимость смещения парамагнитного иона  $x$  от  $E_{loc}$  удобно представить в том виде, в котором обычно представляется зависимость по поляризации нелинейного кристалла от поля

$$E_{loc} = \tilde{\alpha}x + \tilde{\beta}x^3. \quad (5)$$

Для не слишком-мягкого центра имеем

$$x = \frac{E_{loc}}{\tilde{\alpha}} - \frac{\tilde{\beta}E_{loc}^3}{\tilde{\alpha}^4}. \quad (6)$$

Следовательно,  $a = b\gamma^2\tilde{\alpha}^{-2}$ ,  $\beta = -2b\tilde{\beta}\gamma^4\tilde{\alpha}^{-5}$ , где  $b$  — коэффициент пропорциональности между параметрами спин-гамильтониана (4) и смещения иона (6). Как видно из рис. 3, коэффициент  $\alpha$  возрастает при понижении температуры, что естественно объясняет уменьшением  $\tilde{\alpha}$ . Исходя из имеющихся данных невозможно однозначно указать причину такого поведе-

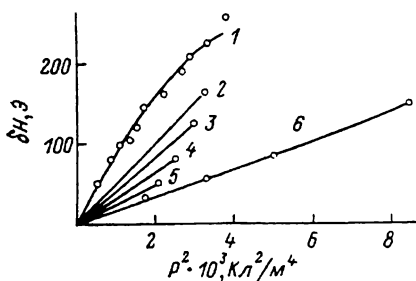


Рис. 3. Зависимость сдвига линии ЭПР  $Gd^{3+}$  (переход  $5/2 \leftrightarrow 3/2$ ,  $E \perp H$ ) в  $KTa_3$  от квадрата поляризации при различных температурах.

$T, K:$  1 — 4.8, 2 — 19, 3 — 30, 4 — 42, 5 — 54, 6 — 77.

ния жесткости  $\tilde{\alpha}$ . Можно предположить, что  $Gd^{3+}$  является нецентральным ионом. В этом случае температурную зависимость  $\tilde{\alpha}$  удобно обсудить, пользуясь формулой, следующей из теории тепловых флуктуаций

$$\langle x^2 \rangle \sim \frac{T}{\tilde{\alpha}}, \quad (7)$$

где скобки  $\langle \rangle$  означают статистическое усреднение. Для  $\delta$ -образного многоминимумного потенциала  $\tilde{\alpha} \sim T^{-1}$ , такая же температурная зависимость будет иметь место и в реальном случае для самых низких температур. Для высоких температур, когда наличие барьеров между минимумами несущественно,  $\langle x^2 \rangle \sim T$  и  $\tilde{\alpha}$  не зависит от температуры. Судя по данным, приведенным на рис. 3, в нашем случае имеет место промежуточная ситуация. Если  $Gd^{3+}$  является нецентральным ионом, то при самых низких температурах линия ЭПР должна уширяться и затем расщепиться. Некоторое относительное уширение линий с  $M=1/2$  действительно наблюдается. Однако расщепление линий не отмечалось вплоть до самой низкой в нашем эксперименте температуры ( $T=4.2$  К). Другое возможное объяснение уменьшения  $\tilde{\alpha}$  состоит в том, что в районе низких температур происходит локальный фазовый переход (центральный ион становится нецентральным) [11]. Естественно, что и в этом случае должны наблюдаться уширение и расщепление линий ЭПР. И, наконец, третья возможность состоит в том, что локальный фазовый переход является виртуальным с условной точкой перехода в области отрицательных температур.

#### Л и т е р а т у р а

- [1] Гейфман И. Н., Сытиков А. А., Круликовский Б. К. ФТТ, 1986, т. 28, № 4, с. 971—976.
- [2] Wessel G., Goldlick H. J. Appl. Phys., 1968, vol. 39, N 10, p. 4855—4856.
- [3] Быков И. П., Глинчук М. Д., Кармазин А. А., Лагута В. В. ФТТ, 1983, т. 25, № 12, с. 3586—3590.
- [4] Лагута В. В., Глинчук М. Д., Кармазин А. А., Быков И. П., Сырников П. П. ФТТ, 1985, т. 27, № 7, с. 2211—2214.
- [5] Hannon D. M. Phys. Rev., 1967, vol. 164, N 2, p. 366—371.

- [6] Gonzalez R., Abraham M. M., Boatner L. A., Chen Y. J. Chem. Phys., 1983, vol. 78, N 2, p. 660—664.
- [7] Unoku H., Sakudo T. J. Phys. Soc. Japan, 1966, vol. 21, N 9, p. 1730—1733.
- [8] Wemple S. H. Bull. Am. Phys. Soc., ser. II, 1966, vol. 8, N 1, p. 6.
- [9] Wemple S. H. Phys. Rev., 1965, vol. 137, N 5, p. 1575—1582.
- [10] Гефман И. Н., Круликовский Б. К., Сытиков А. А. ФТТ, 1981, т. 23, № с. 1247—1250.
- [11] Ribeira G. M., Gonzaga L. V., Chaves A. S., Gazzinelli R., Blinc R., Cevc P., Prelovsek P., Silkin N. Phys. Rev. B, 1982, vol. 25, N 1, p. 311—318.

Институт полупроводников АН УССР  
Киев

Поступило в Редакцию  
17 апреля 1987 г.  
В окончательной редакции  
1 сентября 1987 г.

---